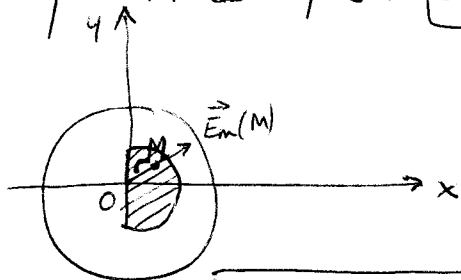


(I) 1) \vec{B} indépendant de $t \rightarrow \vec{A}$ indep. de $t \rightarrow \boxed{\vec{E}_m(M) = \vec{v}_e(M) \wedge \vec{B}(M)}$

2) 2.1 $\boxed{\vec{v}_e(M) = r\omega \vec{e}_\varphi}$

2.2 lorsque M de chp B : $\boxed{\vec{E}_m(M) = r\omega B_0 \vec{e}_\varphi \wedge \vec{e}_z = r\omega B_0 \vec{e}_r}$

2.3

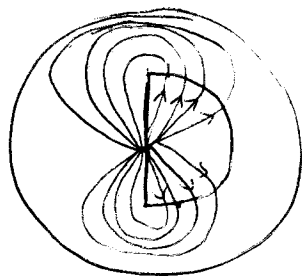


2.4 loi d'Ohm $\boxed{\vec{j}_i(M) = \gamma \vec{E}_m(M)}$ dens. de courant induite du fait conducteur en vit de chp \vec{B} uniforme et est

2.5 \vec{B} ne s'applique pas à tout le conducteur \rightarrow des boucles fermées de courant peuvent se former \rightarrow \vec{E}_m peut agir de circuit fermé

[si \vec{B} appliqué à $\#$ le conducteur alors les charges s'accumuleront sur les bords du disque, elles ne pourront sortir du conducteur \rightarrow circuit ouvert]

2.6



les lignes de courant doivent être tangentes à la surface extérieure du conducteur (car elles doivent être fermées et les charges ne peuvent sortir du conducteur). Les courants induits sont appelés courants de Foucault: ce courants ne sont pas guidés par des fils mais induits de vol. du conducteur.

3) [dP = puissance de force de Lorentz sur élément de vol $d\vec{v}$ du conducteur de charge $dq = \rho d\tau$
 $= \rho d\tau (\vec{E}_m + \vec{v} \wedge \vec{B}) \cdot \vec{v} = \rho d\tau \vec{E}_m \cdot \vec{v} = \vec{j} d\tau \cdot \vec{E}_m = \gamma \vec{E}_m^2 d\tau$]

3.1 puissance dissipée sous forme thermique par effet Joule.

3.2 $\boxed{\frac{dP}{d\tau} = \gamma r^2 \omega^2 B_0^2}$

3.3 $\boxed{P_I = \int_{\text{vol conducteur}} \gamma r^2 \omega^2 B_0^2 d\tau = \frac{\gamma \omega^2 B_0^2}{\pi h d r} \int_0^R r^3 dr = \frac{\pi \gamma \omega^2 B_0^2 h R^4}{4}}$

3.4 force de Laplace exercée sur élément de vol $d\vec{l}$ du conducteur de charge $dq = \rho dt$

$$d\vec{F}_{Laplace} = \int d\vec{l} \wedge \vec{B} = \gamma E_m dt B_0 \vec{e}_r \wedge \vec{e}_z = -\gamma E_m B_0 dt \vec{e}_\varphi$$

$$= -\gamma \sigma B_0^2 dt \vec{e}_\varphi \text{ s'oppose à } \vec{v} = r\omega \vec{e}_\varphi$$

→ le conducteur subit une force de freinage proportionnelle à $B_0^2 \sigma$ où σ intense qu'à grande vitesse

3.5 freinage par induction

ex: ralentisseurs sur les poids lourds

[le freinage ne peut que ralentir ($\neq 0$ donc intense qu'à gde vitesse) il faut donc ajouter des freins de friction]

3.6 AN: $P_I = \underline{2.277,6 W}$

II) 1) 4 TD

2)

[\vec{A} possède de sym de dist de courant
⊥ plan d'antisym
// plan de sym]

or dist. de courant invariante par rot. autour de Oz et par trans // Oz
→ $\vec{A}(M, t) = \vec{A}(e, t)$

et plan $(M, \vec{e}_r, \vec{e}_z) =$ plan d'antisym → $\vec{A}(M) // \vec{e}_\varphi$

→ $\vec{A}(M, t) = A(e, t) \vec{e}_\varphi$

D'après $\oint_{\mathcal{E}} \vec{A} \cdot d\vec{l} = \iint_S \vec{B} \cdot d\vec{S}$ $\mathcal{E} =$ cercle rayon $\rho (< R_0)$ axe Oz
 $S =$ disque rayon ρ reposant sur \mathcal{E}

$A(e, t) \oint_{\mathcal{E}} dl \vec{e}_\varphi \cdot \vec{e}_\varphi = B_m \sin \omega t \iint_S dS \vec{e}_z \cdot \vec{e}_z$

$A(e, t) 2\pi \rho = B_m \sin \omega t \pi \rho^2$

$A(e, t) = \frac{B_m \rho}{2} \sin \omega t$ pr $\rho < R_0$

[on a bien rot $\vec{A} = \frac{1}{e} \frac{\partial}{\partial e} (e A(e, t)) \vec{e}_\varphi = \frac{1}{e} B_m \frac{\rho}{2} \sin \omega t \vec{e}_\varphi = B_m \sin \omega t \vec{e}_\varphi = \vec{B}$]

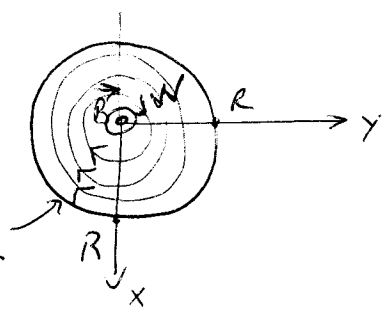
3) 3.1 bandeau conducteur immobile de chp \vec{B} variable

$$\rightarrow \vec{J}_e(M) = \vec{0} \rightarrow \boxed{\vec{E}_m(M) = -\frac{\partial \vec{A}(M,t)}{\partial t} = -\frac{\partial A(\rho,t)}{\partial t} \vec{e}_\rho} \quad \rho \leq R$$

3.2. $\boxed{E_m = -\frac{\partial A(\rho,t)}{\partial t} = -\frac{B_m \rho}{2} \omega \cos \omega t}$

chp électromoteur induit de la bandeau conducteur

3.3



bandeau conducteur

lignes de courant de densité $\vec{j} = \gamma \vec{E}_m$
selon $-\vec{e}_\rho$: circles d'axe Oz

3.4 courants de Foucault

4) 4.1 puissance dissipée sous forme thermique par effet Joule

4.2 $\boxed{\frac{dP}{d\tau} = \gamma E_m^2 = \gamma \frac{B_m^2 \rho^2 \omega^2 \cos^2 \omega t}{4}}$

4.3 $\langle \frac{dP}{d\tau} \rangle = \frac{1}{T} \int_0^T \frac{dP}{d\tau} dt$ avec $T = \frac{2\pi}{\omega}$
 $= \gamma \frac{B_m^2 \rho^2 \omega^2}{4} \frac{1}{T} \int_0^T \cos^2 \omega t dt$

$$\frac{1}{T} \int_0^T \cos^2 \omega t dt = \frac{1}{T} \int_0^T \frac{1 + \cos 2\omega t}{2} dt = \frac{1}{T} \left(\frac{T}{2} + 0 \right) = \frac{1}{2}$$

$$\rightarrow \boxed{\langle \frac{dP}{d\tau} \rangle = \gamma \frac{B_m^2 \rho^2 \omega^2}{8}}$$

4.4. $\boxed{P_{II} = \iiint_{\text{bandeau}} \langle \frac{dP}{d\tau} \rangle d\tau = \gamma \frac{B_m^2 \omega^2}{8} \int_0^R \rho^2 2\pi \rho H d\rho}$
 $= \pi \gamma \frac{B_m^2 \omega^2}{4} H \int_0^R \rho^3 d\rho = \frac{\pi \gamma B_m^2 \omega^2 H R^4}{16}$

4.5 Chauffage par induction

ex: plaques à induction: courants induits de récipient métallique soumis \vec{B} variable
(puissance dissipée par effet Joule proportionnelle à $B_m^2 \omega^2$ si \vec{B} sinusoïdal)

4.6 $P_{II} = \underline{1423,5 W}$